

主 编 ■ 陈 佳
副主编 ■ 于燕妮
主 审 ■ 张维元

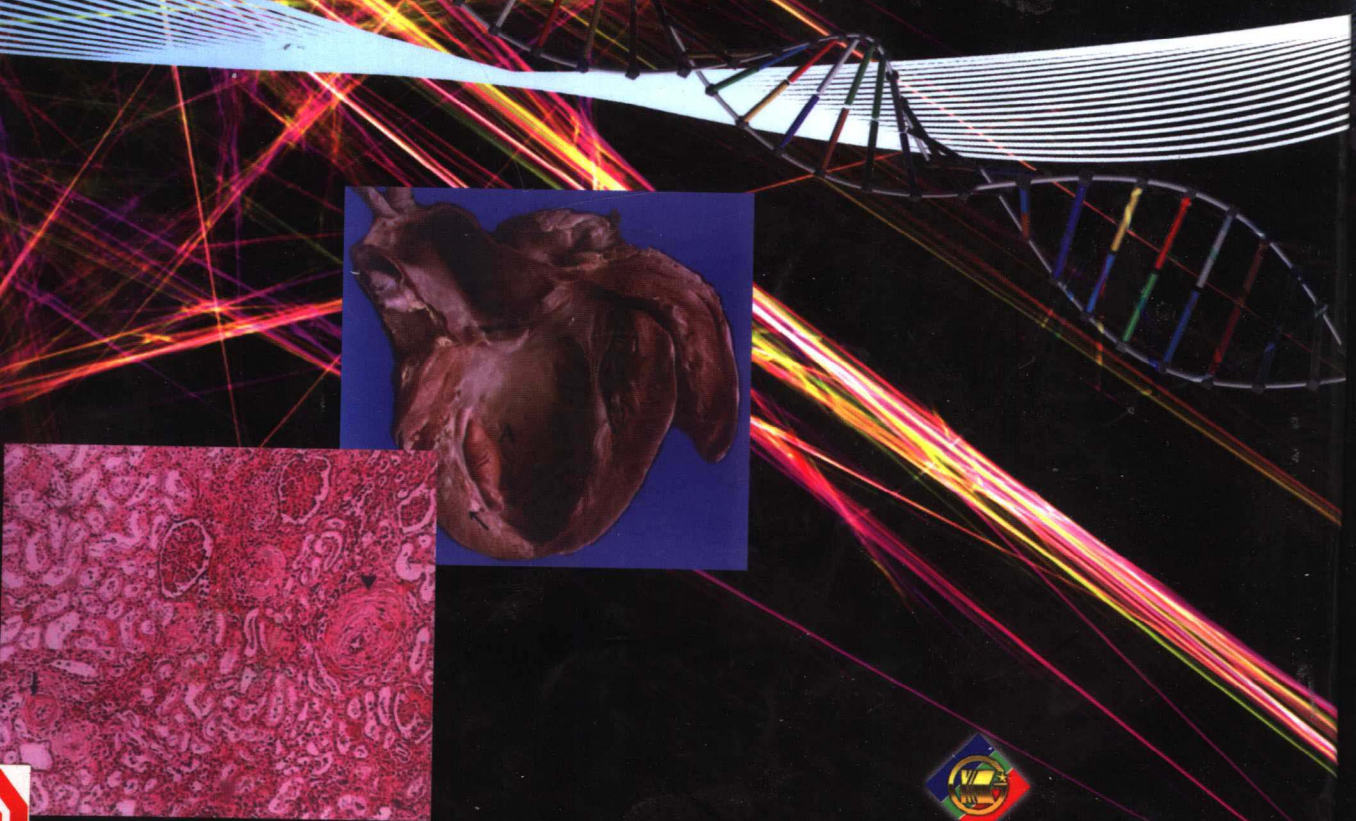
李大中
刘家骝

病理学

彩色

图谱

BING LI
XUE
CAI SE
TU PU



贵州科技出版社

病理学彩色图谱

主 编 陈 佳

副主编 于燕妮 李大中

主 审 张维元 刻家骝

贵州科技出版社

贵 阳

图书在版编目 (CIP) 数据

病理学彩色图谱 / 陈佳主编. —贵阳: 贵州科技出版社, 2002.7
ISBN 7-80662-172-5

I . 病… II . 陈… III . 病理学—图谱…
IV . R36—64

中国版本图书馆 CIP 数据核字 (2002) 第 033895 号

贵州科技出版社出版发行

出版人: 丁 聰

责任编辑: 夏同珩

封面设计: 张 彪

技术设计: 陈 霓

经 销: 贵州省新华书店

印 刷: 贵州新华印刷厂

开 本: 787mm × 1 092mm 1/16

印 张: 8.25

字 数: 206 千字

印 数: 5 000 册

定 价: 52.00 元

版 次: 2002 年 7 月第 1 版第 1 次印刷

前 言

病理学在医学领域是一门极其重要的学科，对医学生来说，是将基础医学学习和临床医学学习相联系的桥梁学科。对于临床医疗，又是临床实践性很强的辅助诊断的重要学科。在科学技术迅猛发展的今天，随着我国科学技术的进步和设备的完善，以及各门学科对病理学科的渗透，出现了很多病理学科的分支，如免疫病理学、分子病理学、遗传病病理学及定量病理学等。目前，临床病理科常用的检查方法除了常规的伊红和苏木素(HE)染色、特殊染色及光学显微镜(简称“光镜”)观察外，还增加了免疫组织化学(简称“免疫组化”)检查，用于诊断一些免疫性疾病、病毒感染及肿瘤的诊断和鉴别诊断，并且将电子显微镜(简称“电镜”)应用于临床，观察肾小球肾炎的分型。在肿瘤诊断中，通过电镜观察肿瘤细胞的亚细胞结构，可确定组织发生、类型和分化程度等。为了使医学院校学生和病理诊断工作初学者能更好地学习现代病理学知识，从感官上认识疾病的形态学变化，并且初步了解电镜及免疫组化知识，为此，我们编写了这本《病理学彩色图谱》(以下称“图谱”)。

本图谱搜集了病理学中各种常见疾病的肉眼标本、组织学切片，应用先进的数码相机及微机图像分析系统进行拍摄和图像的处理，达到了图像清晰和色彩真实的效果。图谱内容丰富，图文并茂，形象生动。

本图谱在制作过程中，得到了北京大学医学部邹万忠教授惠赠的宝贵电镜照片、贵州省人民医院病理科刘庆荣主任医师提供的心血管疾病部分切片、贵阳医学院附属医院中心实验室、血液室及内窥镜中心等单位及个人的大力支持和帮助；还有贵阳医学院病理科教研室的唐慧、孟青、刘启兰、钟渝等同志参予制作标本、切片及免疫组织化学方面的工作，一并在此深表感谢。

本图谱在编写过程中，力求将错误降至最低水平，但由于编写的水平及经验有限，难免存在许多不足和遗憾之处，敬请病理学前辈、同仁及读者批评指正，提出宝贵意见。

编者 2002年1月18日

目录

第一章	细胞、组织的适应和损伤	(1)
第一节	适应	(1)
第二节	细胞、组织的损伤	(5)
	一、变性	(5)
	二、细胞死亡	(9)
第二章	损伤的修复	(13)
第一节	再生	(13)
第二节	纤维性修复	(13)
第三章	血液循环障碍	(15)
第一节	充血	(15)
第二节	出血	(16)
第三节	血栓形成	(17)
第四节	栓塞	(18)
第五节	梗死	(19)
第四章	炎症	(21)
第一节	炎症局部的基本病理变化	(21)
第二节	急性炎症的形态学类型	(24)
第五章	肿瘤	(29)
第一节	肿瘤的异型性	(29)
第二节	肿瘤的生长与扩散	(31)
第三节	肿瘤组织的分级	(35)
第四节	常见肿瘤举例	(36)
	一、上皮性肿瘤	(36)
	(一)良性肿瘤	(36)
	(二)恶性肿瘤	(37)
	(三)癌前病变、非典型性增生及原位癌	(40)
	二、间叶组织肿瘤	(43)
	(一)良性肿瘤	(43)
	(二)恶性肿瘤	(45)
	三、神经外胚叶性肿瘤	(47)
第六章	心血管系统疾病	(49)
第一节	动脉粥样硬化	(49)
第二节	冠状动脉粥样硬化及冠状动脉粥样硬化性心脏病	(51)
第三节	原发性高血压	(52)
第四节	风湿病	(54)

第五节	感染性心内膜炎	(56)
第六节	心肌病	(56)
第七节	心肌炎	(58)
第七章	呼吸系统疾病	(59)
第一节	慢性阻塞性肺病	(59)
第二节	肺炎	(61)
第三节	肺尘埃沉着症	(63)
第四节	呼吸系统常见肿瘤	(64)
第八章	消化系统疾病	(67)
第一节	胃肠疾病	(67)
第二节	肝胆疾病	(72)
第九章	淋巴及造血系统疾病	(77)
第一节	恶性淋巴瘤	(77)
第二节	白血病	(79)
第三节	组织细胞肿瘤	(80)
第十章	泌尿系统疾病	(81)
第一节	肾小球肾炎	(81)
第二节	肾盂肾炎	(87)
第三节	肾和膀胱常见肿瘤	(88)
第十一章	生殖系统和乳腺疾病	(90)
第一节	子宫颈疾病	(90)
第二节	子宫体疾病	(92)
第三节	妊娠滋养层细胞疾病	(94)
第四节	卵巢肿瘤	(96)
第五节	前列腺疾病	(100)
第六节	睾丸和阴茎肿瘤	(100)
第七节	乳腺疾病	(102)
第十二章	内分泌系统疾病	(104)
第一节	垂体疾病	(104)
第二节	甲状腺疾病	(105)
第三节	肾上腺和胰岛疾病	(108)
第十三章	神经系统疾病	(110)
第一节	感染性疾病	(110)
第二节	神经系统肿瘤	(112)
第十四章	传染病	(114)
第一节	结核病	(114)
第二节	麻风	(117)
第三节	伤寒	(118)
第四节	细菌性痢疾	(119)
第五节	性传播性疾病	(119)
第六节	深部真菌病	(121)
第十五章	寄生虫病	(123)
第一节	阿米巴病	(123)
第二节	血吸虫病	(124)
第三节	丝虫病	(125)
第四节	华支睾吸虫病	(125)
第五节	肺吸虫病	(126)

第一章 细胞、组织的适应和损伤

第一节 适应



图 1-1 肾压迫性萎缩

因肾盂积水，导致肾盂肾盏高度扩张，肾实质受压而明显变薄。

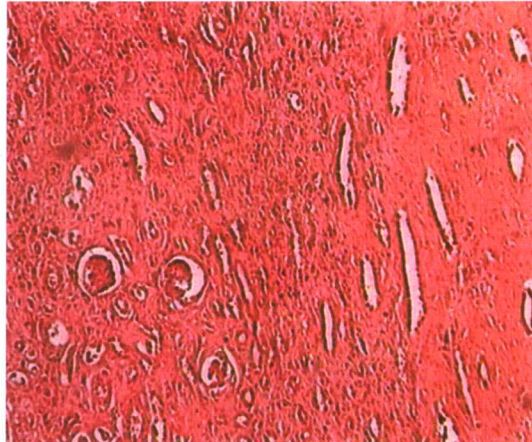


图 1-2 肾压迫性萎缩 HE × 40

肾皮质变薄，肾小球、肾小管数目减少，间质纤维组织增生。

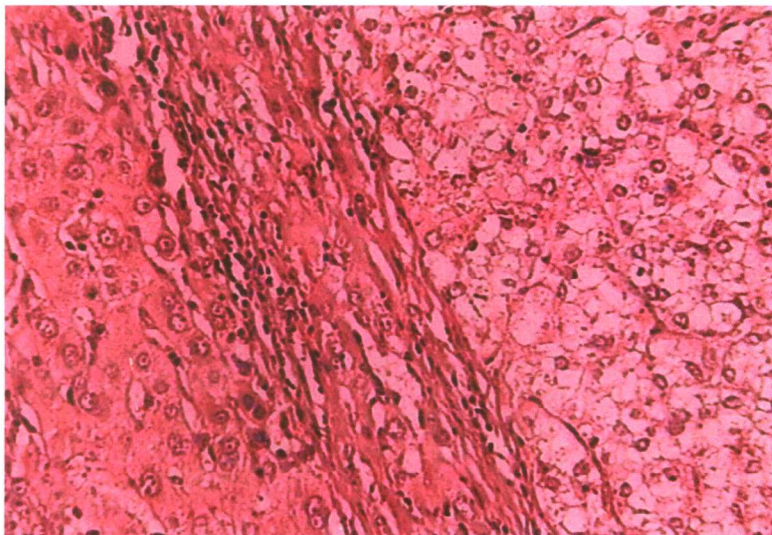


图 1-3 肝细胞压迫性萎缩 HE × 40

右侧为肿瘤，中间为受肿瘤压迫萎缩的肝细胞。

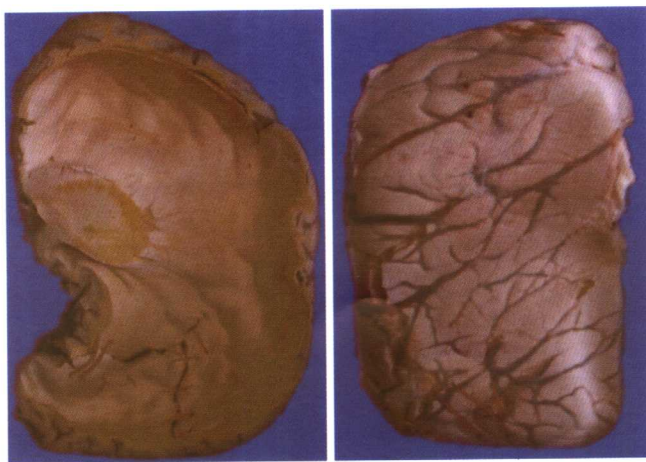


图 1-4 脑压迫性萎缩

左图示侧脑室高度扩张，脑室壁明显变薄；右图示脑回明显变宽，脑沟变浅。



图 1-5 萎缩心（表面）

心包膜下血管蛇型弯曲(箭头所指)



图 1-6 萎缩心（切面）

心脏体积缩小，心尖变尖。右图示正常心。



图 1-7 心肌肥大

心脏体积增大，左心室壁心肌肥厚，乳头肌肥大。右图示正常心。

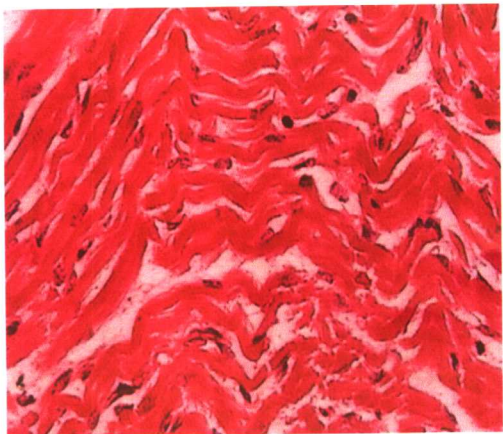


图 1-8 正常心肌细胞 HE \times 200



图 1-9 心肌细胞肥大 HE \times 200

心肌细胞体积增大，细胞间隙变窄，核大深染。

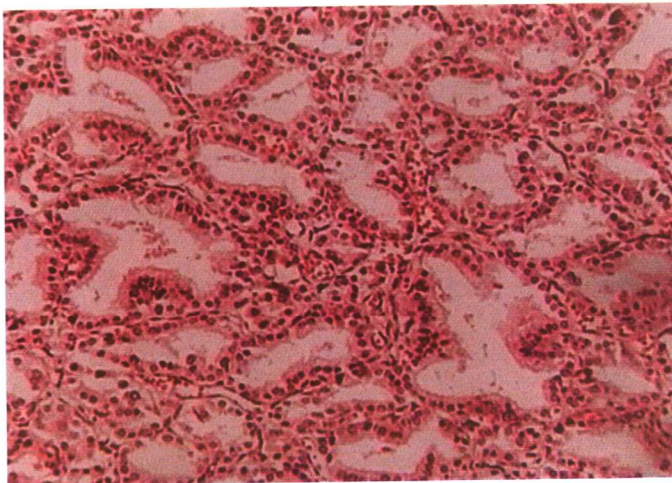


图 1-10 甲状腺滤泡增生 HE \times 40

甲状腺滤泡上皮细胞增生，呈立方状或柱状，并有乳头形成。

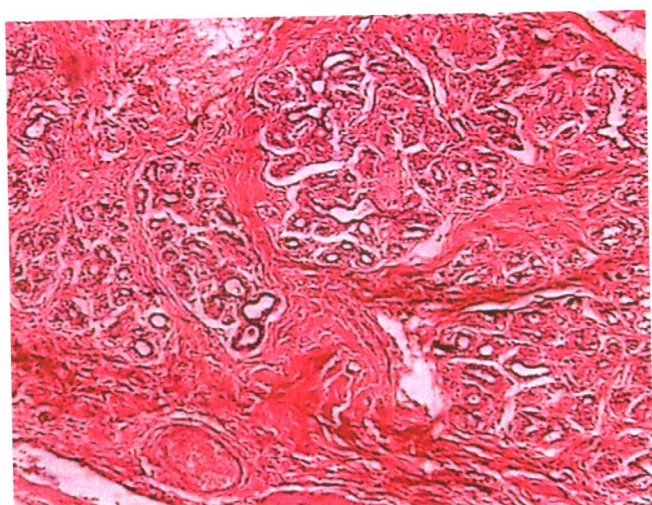


图 1-11 乳腺增生 HE $\times 40$
乳腺腺小叶增生，小叶腺泡数目增多。

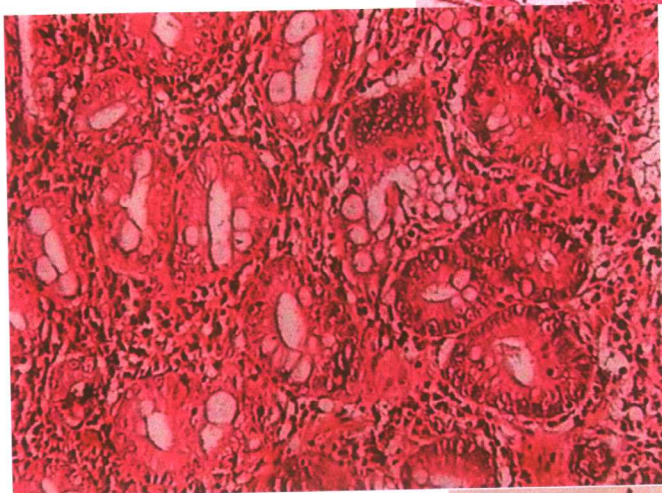


图 1-12 胃粘膜肠上皮化生 HE $\times 100$
胃粘膜固有腺体出现许多杯状细胞。

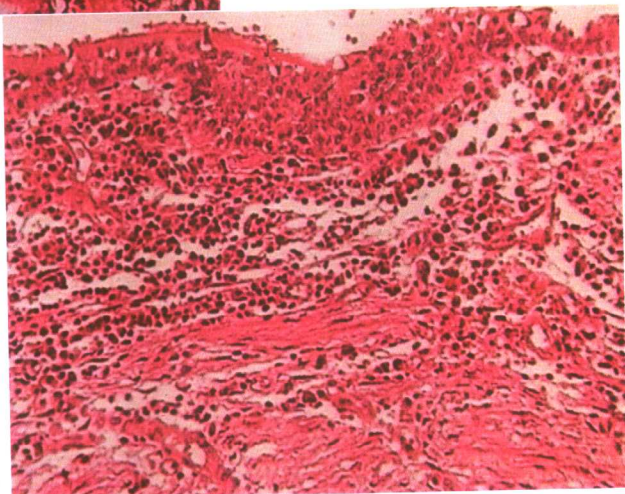


图 1-13 支气管粘膜鳞状上皮化生
HE $\times 100$
支气管假复层纤毛柱状上皮部分被鳞
状上皮所取代。

第二节 细胞、组织的损伤

一、变性



图 1-14 肝细胞水肿

肝脏体积增大，实质隆起，间质凹陷，色灰白如水煮状。

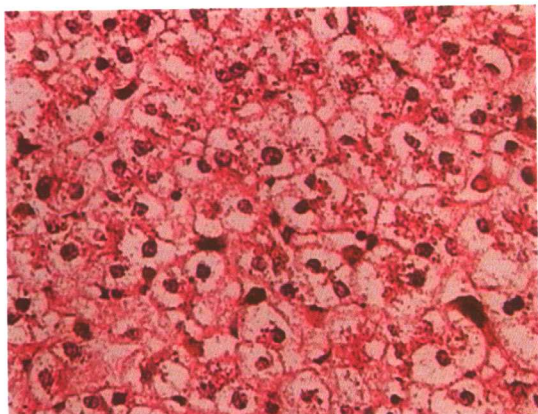


图 1-15 肝细胞水肿 HE $\times 100$

肝细胞显著肿胀，胞浆疏松，呈气球样变。

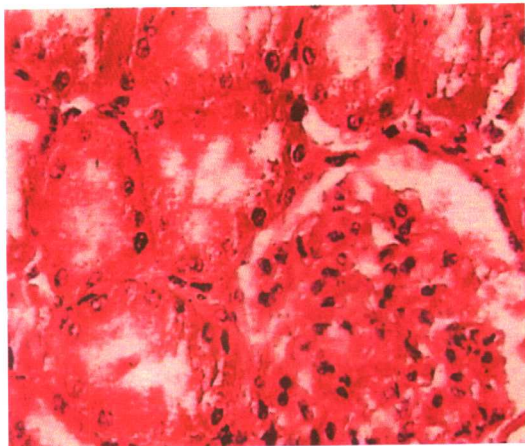


图 1-16 肾小管上皮细胞水肿 HE $\times 200$

肾近曲小管上皮细胞体积增大，胞质内出现许多红染细小颗粒。



图 1-17 肾小管上皮细胞水肿 电镜 $\times 2700$

线粒体及内质网囊泡样肿胀。



图 1-18 心肌细胞水肿 HE $\times 200$
见心肌细胞胞浆内有大小不等的空泡。



图 1-19 肝脂肪变性
肝脏体积增大，呈淡黄色。

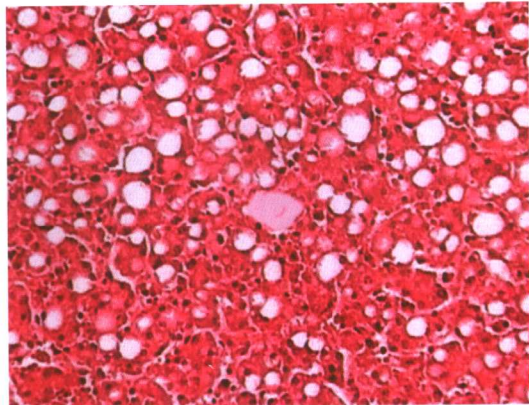


图 1-20 肝脂肪变性 HE $\times 100$
肝细胞胞浆内出现大小不等的脂肪空泡(脂肪滴在制片过程中被有机溶剂溶解)。

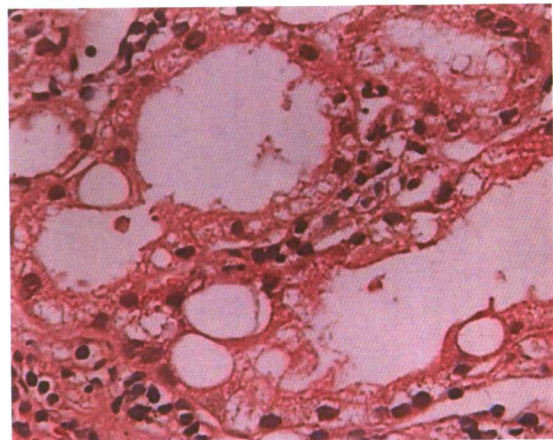


图 1-21 肾小管上皮细胞脂肪变性 HE $\times 200$
肾小管上皮细胞胞浆内出现大小不等的空泡。

图 1-22 肾近曲小管上皮细胞胞浆
内玻璃样小滴 HE $\times 200$
肾近曲小管上皮细胞内出现均
质红染圆形小体(箭头所指)。

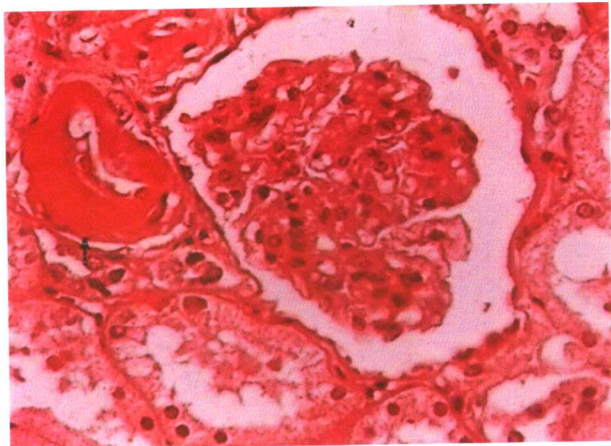
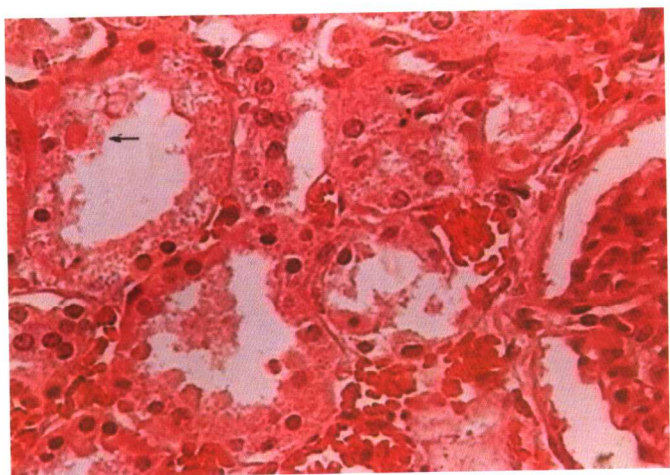


图 1-23 肾小球入球小动脉玻璃样变
HE $\times 200$
管壁显著增厚，均质红染，管腔变狭
窄(箭头所指)。

图 1-24 纤维结缔组织玻璃样变(瘢痕)
HE $\times 100$
真皮内胶原纤维增粗，互相融合，呈
均质片状。

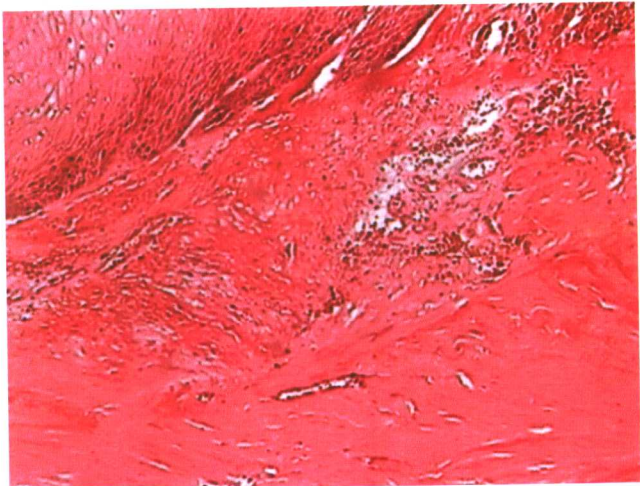


图 1-25 肾小球玻璃样变(硬化)

HE × 100

图示两肾小球毛细血管样结构消失，呈均质毛玻璃状。

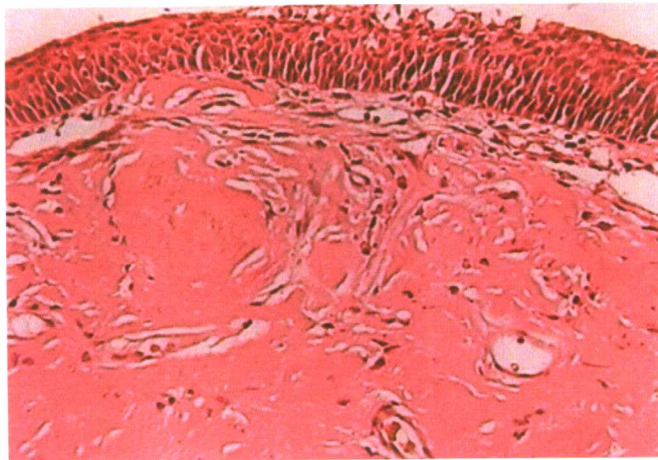
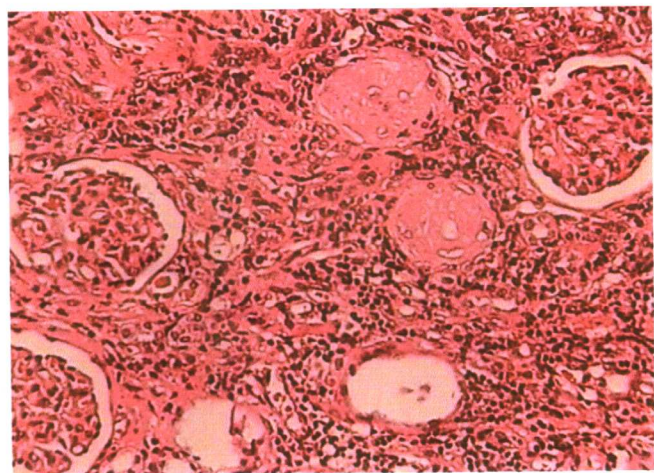


图 1-26 喉粘膜淀粉样变 HE × 100

喉粘膜下间质中均匀粉红染色的淀粉物沉积。

图 1-27 动脉粥样斑块内继发营养不良性钙化 HE × 100

图下方动脉管壁粥样斑块内见不规则的紫蓝色的钙化斑块。

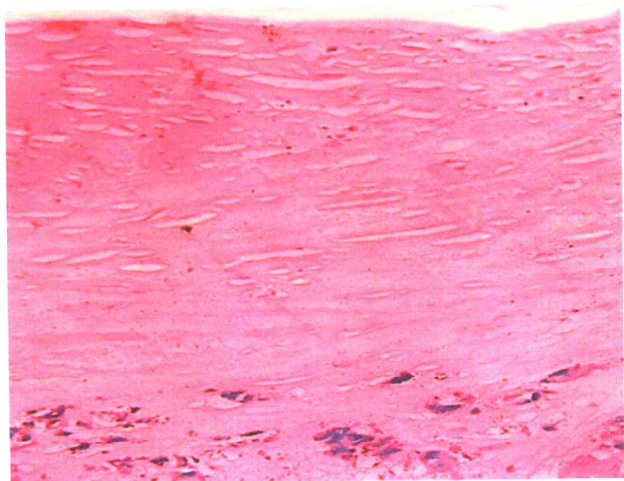




图 1-28 寄生虫虫卵钙化 HE $\times 100$
虫卵结节中见紫蓝色钙化灶。

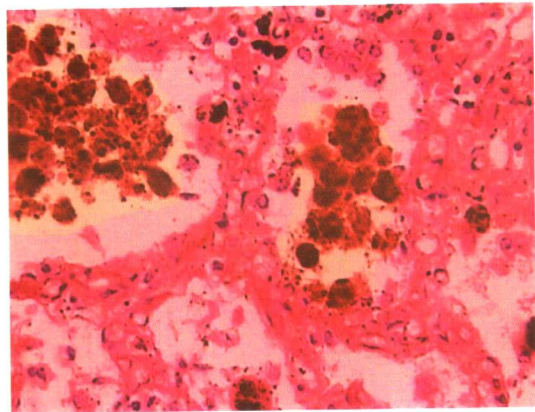


图 1-29 肺含铁血黄素沉积 HE $\times 100$
肺泡腔内及巨嗜细胞胞浆内见多量棕黄色含铁血黄素

二、细胞死亡

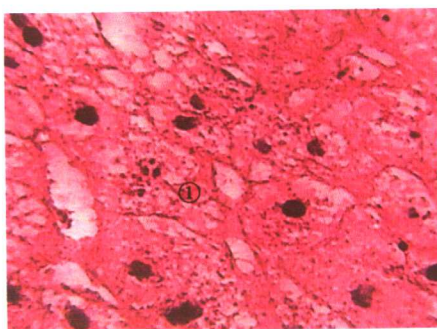


图 1-30 肝细胞坏死 HE $\times 400$ 图示核碎裂①、核固缩②、核溶解③。

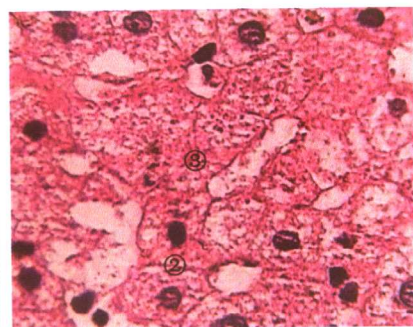


图 1-31 兔软骨细胞坏死 电镜 $\times 5\,000$
软骨细胞核浓缩、凝聚成片块，核膜崩解，线粒体及内质网肿胀，部分崩解。图右下方为髓鞘样结构(自嗜溶酶体中被消化的膜磷脂)。

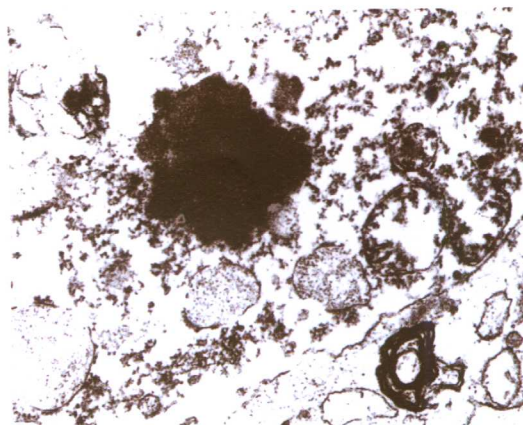




图 1-32 肾小管上皮细胞坏死 电镜 $\times 5\,000$
肾小管上皮细胞核、细胞器、细胞浆及细胞膜均崩解。

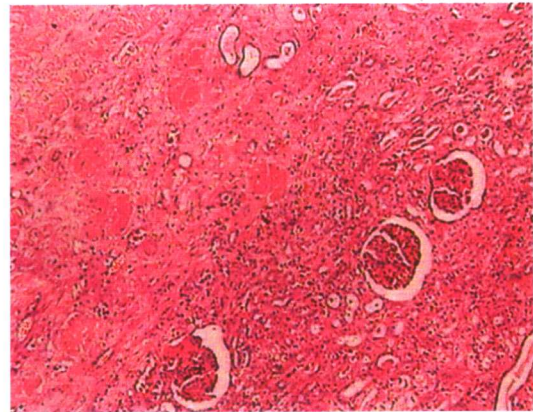


图 1-33 肾凝固性坏死 HE $\times 40$
图左侧见大部分肾小球、肾小管的细胞核消失，呈红染颗粒状。



图 1-34 脾凝固性坏死
脾被膜下见灰色、近似三角形的梗死灶。



图 1-35 肠系膜淋巴结干酪样坏死
左图：肠系膜淋巴结肿大、融合；右图：切面淋巴结结构破坏，呈均质细腻的淡黄色奶酪状。

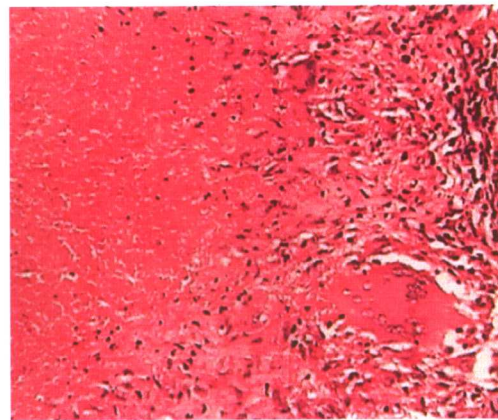


图 1-36 淋巴结干酪样坏死 HE $\times 100$
图左侧示淋巴结内较大的凝固性坏死，坏死组织呈红染、无结构的细颗粒状，图右侧见核结节。



图 1-37 足干性坏疽

足趾坏死、发黑、干枯，坏死与周围正常组织分界清楚。



图 1-38 肠湿性坏疽

肠管肿胀、发黑、混浊。

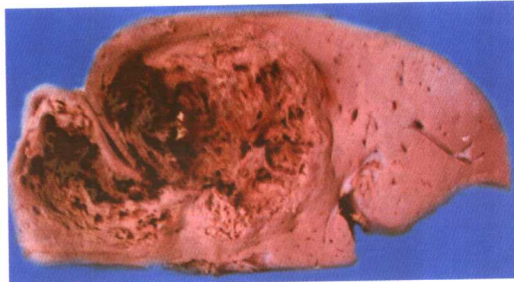


图 1-39 肝液化性坏死

肝右叶见一大脓肿，其内组织坏死液化、流失，脓肿壁呈破絮状。

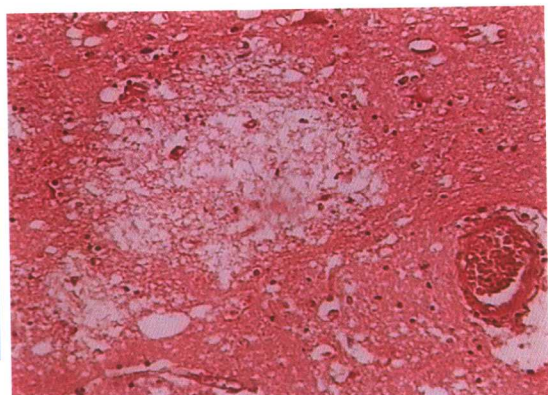


图 1-40 脑液化性坏死 HE × 40

脑实质坏死呈疏松网状、淡染，坏死灶内炎细胞浸润。

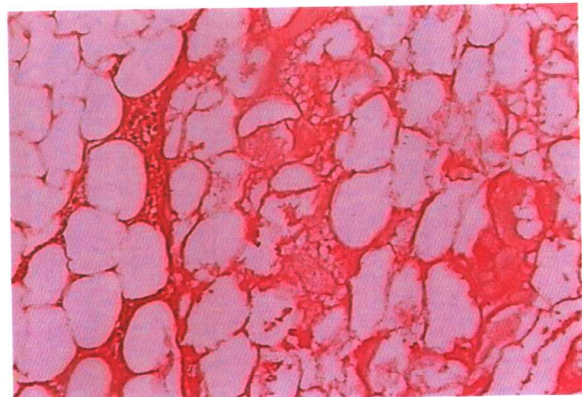


图 1-41 脂肪坏死 HE × 100

图右侧坏死的脂肪组织结构模糊，混浊，核消失，强嗜酸性。